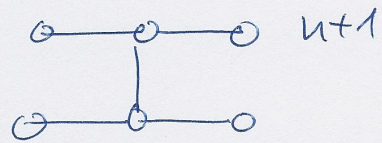


163

bude oblast stability numerické metody také nekonečná.

Pr: Implicitní metoda pro rovnici vedení tepla má stencil



- \Rightarrow na řešení v $(u+1)$ -é časové vrstvě mají vliv všechny hodnoty z u -té vrstvy
- \Rightarrow CFL podmínka je splněna pro libovolnou kombinaci h a τ .

164

Schématu pro rovnici vedení tepla ve 2D (2 prostorové proměnné)

Uvažujeme následující úlohu pro neznámou funkci $u = u(x, y, t)$

$$\frac{\partial u}{\partial t} = p \left(\frac{\partial^2 u}{\partial x^2} + \frac{\partial^2 u}{\partial y^2} \right) \text{ pro } \forall [x, y, t] \in$$

$$\in G = (0, L_x) \times (0, L_y) \times (0, T)$$

s počáteční podmínkou

$$u(x, y, 0) = u_0(x, y) \text{ pro } \forall [x, y] \in G_{xy} = \\ = (0, L_x) \times (0, L_y)$$

a okrajovou podmínkou

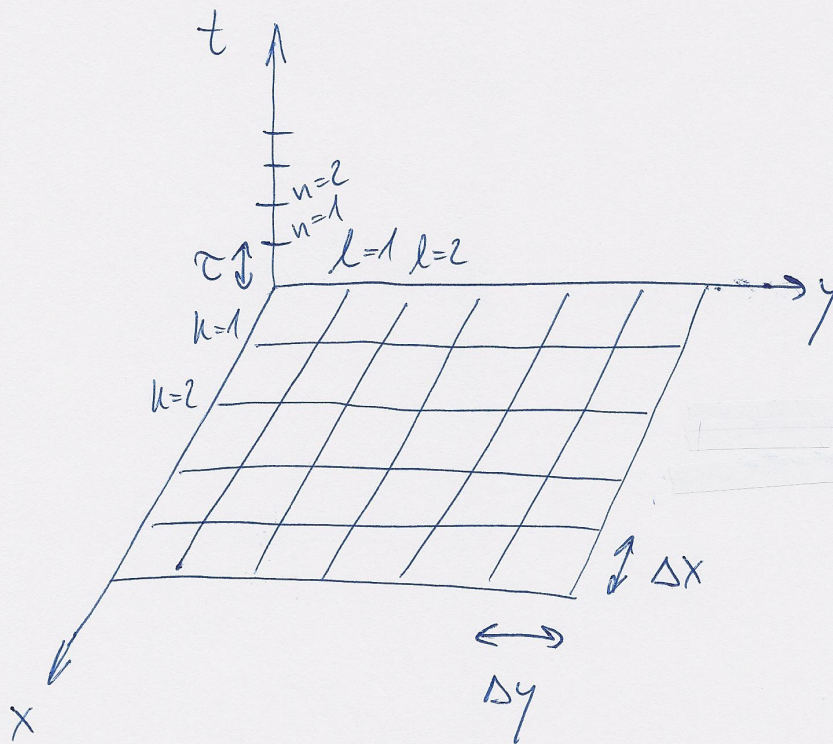
$$u(x, y, t) = \varphi(x, y) \text{ pro } \forall [x, y] \in \partial G_{xy} \\ \text{a } t \in (0, T)$$

Metoda síťí:

V rovině xy uvažujeme síť s uzly $[x_k, y_l, t_n]$,
kde $x_k = k \cdot \Delta x$, $y_l = l \cdot \Delta y$ a $t_n = \tau \cdot n$,

165

kde Δx , Δy a τ jsou kroky sítě ve směru os x , y a t .



Explicitní schéma: všechny derivace

nahradíme v bodě $[x_k, y_l, t_n]$:

$$\frac{u_{k,l}^{n+1} - u_{k,l}^n}{\tau} = p \left(\frac{u_{k-1,l}^n - 2u_{k,l}^n + u_{k+1,l}^n}{\Delta x^2} + \frac{u_{k,l-1}^n - 2u_{k,l}^n + u_{k,l+1}^n}{\Delta y^2} \right)$$

Pozn: Spektrální kritérium pro vyšetření stability lze rozšířit i pro 2D případy, kde se dosadí

(166)

$$u_{k,l}^n = \lambda^n \cdot e^{I(k\alpha + l\beta)}, \quad \alpha, \beta \in (0, 2\pi)$$

a opäť poraďujeme aby po $\forall a, b$
platilo $|\lambda| \leq 1$.

Prs Vyšetrite stabilitu explicitného schématu
pre 2D rovnici vedenia tepla pomocou
spektrálneho kritéria.

dosadiťme $u_{k,l}^n = \lambda^n e^{I k \alpha} e^{I l \beta}$

a dostávame

$$\frac{\lambda^{n+1} e^{I k \alpha} e^{I l \beta} - \lambda^n e^{I k \alpha} e^{I l \beta}}{\tau} = p \cdot \lambda^n e^{I k \alpha} e^{I l \beta}$$

$$\left(\frac{e^{-I\alpha} - 2 + e^{I\alpha}}{\Delta x^2} + \frac{e^{-I\beta} - 2 + e^{I\beta}}{\Delta y^2} \right)$$

$$\frac{\lambda - 1}{\tau} = 2p \left(\frac{\cos\alpha - 1}{\Delta x^2} + \frac{\cos\beta - 1}{\Delta y^2} \right)$$

$$|\lambda| = \left| 2p\tau \left(\frac{\cos\alpha - 1}{\Delta x^2} + \frac{\cos\beta - 1}{\Delta y^2} \right) + 1 \right| \leq 1$$

167

$$-1 \leq 2\rho\tau \left(\frac{\cos\alpha - 1}{\Delta x^2} + \frac{\cos\beta - 1}{\Delta y^2} \right) + 1 \leq 1$$

⋮

$$1 \geq \rho\tau \left(\frac{1 - \cos\alpha}{\Delta x^2} + \frac{1 - \cos\beta}{\Delta y^2} \right) \geq 0$$

víme, že $(1 - \cos\alpha) \in \langle 0, 2 \rangle$

a $(1 - \cos\beta) \in \langle 0, 2 \rangle$

"Nejméně příkrmivý" je případ pro $(1 - \cos\alpha) =$

$$= (1 - \cos\beta) = 2$$

$$\Rightarrow 1 \geq 2\rho\tau \left(\frac{1}{\Delta x^2} + \frac{1}{\Delta y^2} \right) \geq 0$$

↑
platí vždy

$$\rho\tau \left(\frac{1}{\Delta x^2} + \frac{1}{\Delta y^2} \right) \leq \frac{1}{2}$$

Semiimplicitní schéma

např. explicitní ve směru x a implicitní
ve směru y

168

$$\frac{u_{k,l}^{n+1} - u_{k,l}^n}{\tau} = p \cdot \left(\frac{u_{k-1,l}^n - 2u_{k,l}^n + u_{k+1,l}^n}{\Delta x^2} + \frac{u_{k,l-1}^{n+1} - 2u_{k,l}^{n+1} + u_{k,l+1}^{n+1}}{\Delta y^2} \right)$$

Vyšetříme stabilitu tohoto schématu, dosadíme

opět $u_{k,l}^n = \lambda^n \cdot e^{I(k\alpha + l\beta)}$

⋮

$$\frac{\lambda - 1}{\tau} = 2p \frac{\cos\alpha - 1}{\Delta x^2} + 2p \lambda \frac{\cos\beta - 1}{\Delta y^2}$$

$$\lambda - 1 = 2 \underbrace{\left(\frac{p\tau}{\Delta x^2} \right)}_{\sigma_x} (\cos\alpha - 1) + 2 \underbrace{\left(\frac{p\tau}{\Delta y^2} \right)}_{\sigma_y} (\cos\beta - 1)$$

$$\lambda (1 - 2\sigma_y (\cos\beta - 1)) = 2\sigma_x (\cos\alpha - 1) + 1$$

$$\lambda = \frac{1 + 2\sigma_x (\cos\alpha - 1)}{1 - 2\sigma_y (\cos\beta - 1)}$$

$$|\lambda| \leq 1$$

$$|1 + 2\sigma_x (\cos\alpha - 1)| \leq \underbrace{1 - 2\sigma_y (\cos\beta - 1)}$$

vždy kladné, protože $(\cos\beta - 1) \in \langle -2; 0 \rangle$

169

$$-1 + 2\sigma_y(\cos\beta - 1) \leq 1 + 2\sigma_x(\cos\alpha - 1) \leq 1 - 2\sigma_y(\cos\beta - 1)$$

$$-2 + 2\sigma_y(\cos\beta - 1) \leq \underbrace{2\sigma_x(\cos\alpha - 1)}_{\leq 0} \leq \underbrace{-2\sigma_y(\cos\beta - 1)}_{\geq 0}$$

\Rightarrow platí vždy

zbyvá tato nerovnost

$$-1 + \sigma_y(\cos\beta - 1) \leq \sigma_x(\cos\alpha - 1) \quad | \cdot (-1)$$

$$1 + \sigma_y \underbrace{(1 - \cos\beta)}_{\in \langle 0, 2 \rangle} \geq \sigma_x \underbrace{(1 - \cos\alpha)}_{\in \langle 0, 2 \rangle}$$

"Nejhorsí varianta" je $1 - \cos\beta = 0$ a $1 - \cos\alpha = 2$

$$\Rightarrow 1 \geq 2\sigma_x$$

$$\sigma_x \leq \frac{1}{2}$$

Pozn. Semiimplicitní schéma je 1. řádu přesnosti v čase a 2. řádu v prostoru (v x-ové i y-ové souřadnici).

V každém kroku (přechod z t_n na t_{n+1})

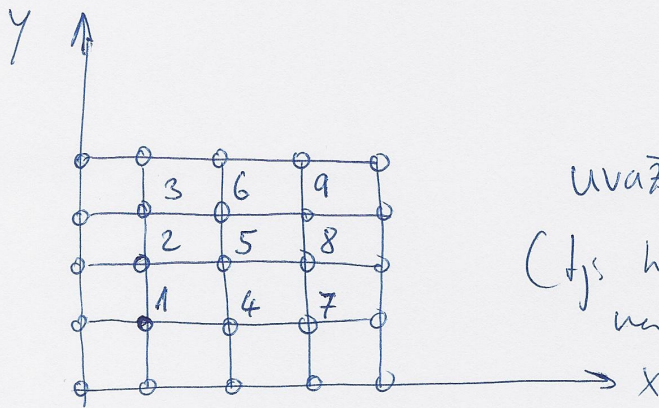
170

řešme třídiagonální soustavu algebraických rovnic:

schéma lze zapsat

$$-\sigma_y u_{k,l-1}^{n+1} + (1+2\sigma_y) u_{k,l}^{n+1} - \sigma_y u_{k,l+1}^{n+1} = \dots$$

je např. pro síť



uvažujeme Dirichletovu OP
(tj. hodnoty v bodech na hranici Γ_{xy} jsou známy)

třídiagonální soustava

171

Implicitní Crank - Nicholsonovo schéma

Toto schéma je ne podmíněně stabilní,
vede však na soustavu s pěti diagonální
maticí.

Zavedeme operátory

$$\delta_{xx} u_{k,l} = \frac{u_{k-1,l} - 2u_{k,l} + u_{k+1,l}}{\Delta x^2}$$

$$\text{a } \delta_{yy} u_{k,l} = \frac{u_{k,l-1} - 2u_{k,l} + u_{k,l+1}}{\Delta y^2}$$

Crank - Nicholsonovo schéma pak lze
zapsat jako

$$\frac{u_{k,l}^{n+1} - u_{k,l}^n}{\tau} = \frac{\rho}{2} \left(\delta_{xx} u_{k,l}^{n+1} + \delta_{xx} u_{k,l}^n \right) + \\ + \frac{\rho}{2} \left(\delta_{yy} u_{k,l}^{n+1} + \delta_{yy} u_{k,l}^n \right)$$

172

$$\left(1 - \frac{\rho\tau}{2} \delta_{xx} - \frac{\rho\tau}{2} \delta_{yy}\right) u_{ke}^{n+1} = \underbrace{\left(1 + \frac{\rho\tau}{2} \delta_{xx} + \frac{\rho\tau}{2} \delta_{yy}\right) u_{ke}^n}_{= R(u_{ke}^n)}$$

Lze uvažovat, že je možné levou stranu zapsat jako (tzv. faktorizace)

$$\begin{aligned} & \left(1 - \frac{\rho\tau}{2} \delta_{xx}\right) \cdot \left(1 - \frac{\rho\tau}{2} \delta_{yy}\right) u_{ke} = \\ & = \left(1 - \frac{\rho\tau}{2} \delta_{xx} - \frac{\rho\tau}{2} \delta_{yy} + \frac{\rho^2\tau^2}{4} \delta_{xx}\delta_{yy}\right) u_{ke} = \\ & = \left(1 - \frac{\rho\tau}{2} \delta_{xx} - \frac{\rho\tau}{2} \delta_{yy}\right) u_{ke} + O(\tau^2) \end{aligned}$$

\Rightarrow faktorizaci se dopouštíme chyby $O(\tau^2)$, to je chyba stejného řádu jako chyba aproximace u Crank-Nicholsonovy metody.

Takže můžeme psát

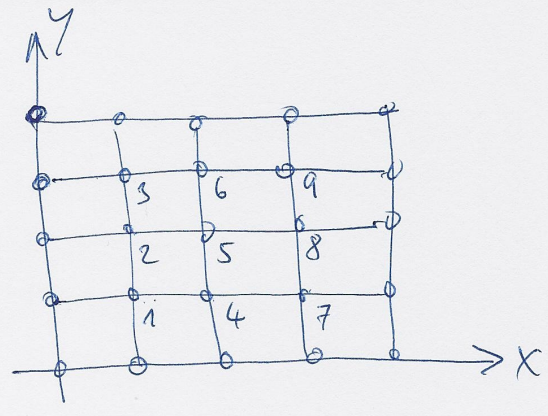
$$\left(1 - \frac{\rho\tau}{2} \delta_{xx}\right) \left(1 - \frac{\rho\tau}{2} \delta_{yy}\right) u_{ke}^{n+1} = R(u_{ke}^n)$$

maticový zápis

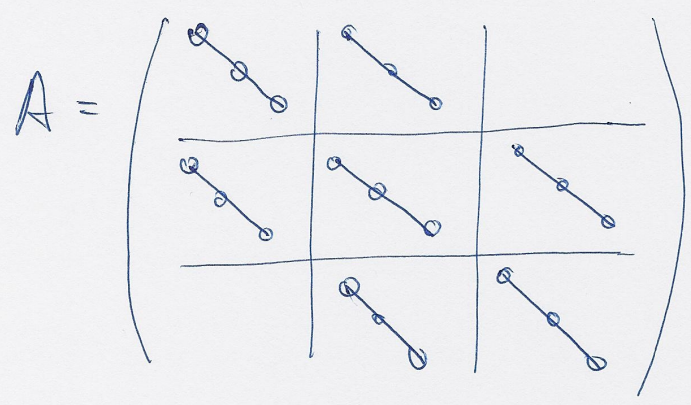
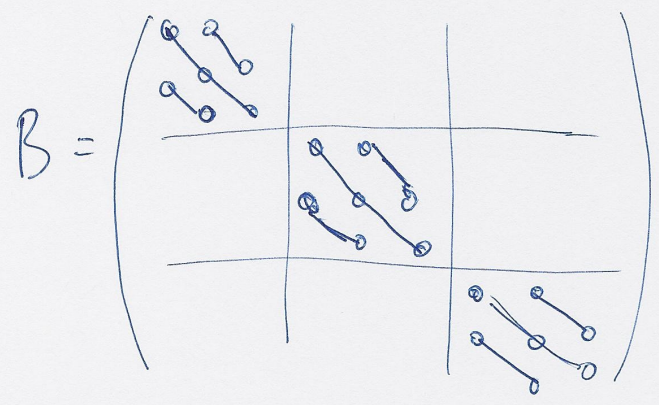
$$A \cdot B \cdot U^{n+1} = R(U^n), \quad (*)$$

Ude např. pro síť

173



$$U = \begin{pmatrix} u_1 \\ u_2 \\ u_3 \\ u_4 \\ u_5 \\ u_6 \\ u_7 \\ u_8 \\ u_9 \end{pmatrix}$$



Otvracíme $V = B \cdot U^{n+1}$, pak soustavu (*)
 řešíme ve dvou krocích

1) $A \cdot V = R(U^n) \rightarrow$ řešení V

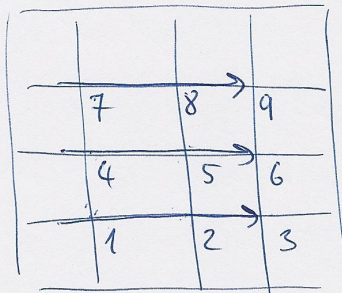
2) $B U^{n+1} = V \rightarrow$ řešení U^{n+1}

174

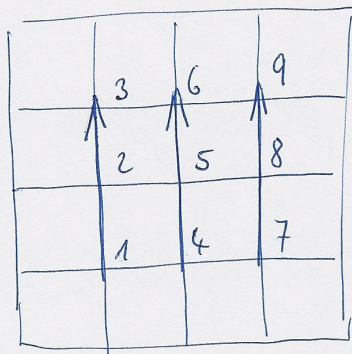
Metodu lze zapsat jako

$$\begin{aligned} 1) \quad & \left(1 - \frac{\rho\tau}{2} \delta_{xx}\right) u_{ke}^{n+1/2} = R(u_{ke}^n) \\ 2) \quad & \left(1 - \frac{\rho\tau}{2} \delta_{yy}\right) u_{ke}^{n+1} = u_{ke}^{n+1/2} \end{aligned}$$

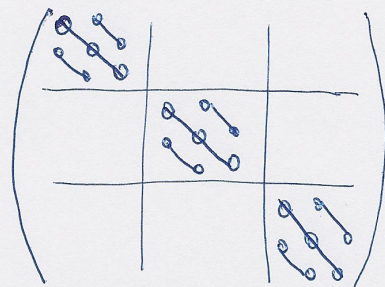
kde v 1. kroku číslujeme uzly ve směru x



a v 2. kroku číslujeme uzly ve směru y



abychom v obou krocích řešili soustavu
skřídiagonální maticí



175

Metoda částečných kroků (fractional step method)

Obecný princip:

Uvažujeme evoluční rovnici

$$\frac{\partial u}{\partial t} = L_1 u + L_2 u, \text{ kde } L_1, L_2 \text{ jsou}$$

diferenciální operátory nezávislé na t .

Cauchyovu úlohu $\frac{\partial u}{\partial t} = L_1 u + L_2 u, u(t=0) = u_0$
aproximujeme úlohou

$$\frac{\partial \tilde{u}}{\partial t} = L_1 \tilde{u}, \tilde{u}(t=0) = u_0$$

$$\frac{\partial \tilde{\tilde{u}}}{\partial t} = L_2 \tilde{\tilde{u}}, \tilde{\tilde{u}}(t=0) = \tilde{u}(\tau)$$

a platí $u(\tau) = \tilde{\tilde{u}}(\tau) + O(\tau)$

↑
řev. splitting error

176

Existuje přesnější metoda symetrického vztahu
(Strang):

$$\frac{\partial \tilde{u}}{\partial t} = L_1 \tilde{u}, \quad \tilde{u}(t=0) = u_0$$

$$\frac{\partial \tilde{\tilde{u}}}{\partial t} = L_2 \tilde{\tilde{u}}, \quad \tilde{\tilde{u}}(t=0) = \tilde{u}\left(\frac{\tau}{2}\right)$$

$$\frac{\partial \tilde{\tilde{\tilde{u}}}}{\partial t} = L_1 \tilde{\tilde{\tilde{u}}}, \quad \tilde{\tilde{\tilde{u}}}(t=0) = \tilde{\tilde{u}}(\tau)$$

a platí, že $u(\tau) = \tilde{\tilde{\tilde{u}}}\left(\frac{\tau}{2}\right) + O(\tau^2)$ za
předpokladu, že operátory L_1 a L_2 komutují,
tj. že platí $L_1 L_2 = L_2 L_1$

Využití metody částicových kroků

- 1) Více dimenzionální úlohu řešíme jako
několik 1D úloh, např. 2D rovnici pro
vedení tepla $\frac{\partial u}{\partial t} = \rho \left(\frac{\partial^2 u}{\partial x^2} + \frac{\partial^2 u}{\partial y^2} \right)$
řešíme postupně jako

177

$$(i) \quad \frac{\partial \tilde{u}}{\partial t} = p \frac{\partial^2 \tilde{u}}{\partial x^2}, \quad \tilde{u}(x, y, t_n) = u(x, y, t_n)$$

$$(ii) \quad \frac{\partial \tilde{u}}{\partial t} = p \frac{\partial^2 \tilde{u}}{\partial y^2}, \quad \tilde{u}(x, y, t_n) = \tilde{u}(x, y, t_n + \tau)$$

$$u(x, y, t_{n+1}) = \tilde{u}(x, y, t_n + \tau)$$

Použijeme-li pro řešení obou kroků (i) a (ii) Crank-Nicolsonovu metodu, dostáváme metodu ve tvaru

$$1. \text{ krok: } \tilde{u}_{ke}^{n+1} - u_{ke}^n = \frac{p\tau}{2} (\sigma_{xx} u_{ke}^n + \sigma_{xx} \tilde{u}_{ke}^n)$$

$$2. \text{ krok: } u_{ke}^{n+1} - \tilde{u}_{ke}^n = \frac{p\tau}{2} (\sigma_{yy} \tilde{u}_{ke}^n + \sigma_{yy} u_{ke}^{n+1})$$

Pozn. Na podobném principu je založena metoda střídavých směrů (ADI method, 1955 Douglas, Peaceman, Rachford), která má zápis

$$\tilde{u}_{ke}^{n+1} = u_{ke}^n + \frac{p\tau}{2} (\sigma_{xx} \tilde{u}_{ke}^n + \sigma_{yy} u_{ke}^n)$$

$$u_{ke}^{n+1} = \tilde{u}_{ke}^n + \frac{p\tau}{2} (\sigma_{xx} \tilde{u}_{ke}^n + \sigma_{yy} u_{ke}^{n+1})$$

178

Vidíme, že ADI metoda je vlastně také metoda
číslicových kroků, kdy rovnice jsou v obou
krocích stejné ($\frac{\partial u}{\partial t} = \rho \left(\frac{\partial^2 u}{\partial x^2} + \frac{\partial^2 u}{\partial y^2} \right)$), ale v každém
kroku se používá jiná semi-implicitní metoda
s časovým krokem $\frac{\tau}{2}$ (nejdříve implicitní v x
a pak v y).

Stabilita ADI metody, po dosazení 1. rovnice
do 2. a $u_{k+1}^n = \lambda^n e^{I(k\alpha + l\beta)}$ dostáváme

$$|\lambda| = \left| \frac{1 + \frac{1}{2} \cdot 2 \sigma_x (\cos \beta - 1)}{1 - \frac{1}{2} \cdot 2 \sigma_y (\cos \beta - 1)} \cdot \frac{1 + \frac{1}{2} \cdot 2 \sigma_y (\cos \beta - 1)}{1 - \frac{1}{2} \cdot 2 (\cos \alpha - 1)} \right| =$$
$$= \underbrace{\left| \frac{1 + \sigma_y (\cos \beta - 1)}{1 - \sigma_y (\cos \beta - 1)} \right|}_{\leq 1} \cdot \underbrace{\left| \frac{1 + \sigma_x (\cos \alpha - 1)}{1 - \sigma_x (\cos \alpha - 1)} \right|}_{\leq 1} \leq 1$$

\Rightarrow ADI metoda je nepodmíněně
stabilní a lze ukázat, že je
2. řádku v prostoru i čase.

179

2) Úlohu rozdělíme na několik kroků podle „fyzikálního významu“:

2.1) Navierovy-Stokesovy rovnice, tj. rovnice

typu

$$\frac{\partial u}{\partial t} = \underbrace{-a \frac{\partial u}{\partial x}}_{L_1 u} + \underbrace{\nu \frac{\partial^2 u}{\partial x^2}}_{L_2 u}$$

→ 1. krok $\frac{\partial \tilde{u}}{\partial t} = -a \frac{\partial \tilde{u}}{\partial x}$ (metoda konečných objemů)

2. krok $\frac{\partial \tilde{u}}{\partial t} = \nu \frac{\partial^2 \tilde{u}}{\partial x^2}$ (např. metoda konečných prvků)

2.2) rovnice konvekce + reakce

$$\frac{\partial u}{\partial t} = \underbrace{-a \frac{\partial u}{\partial x}}_{L_1 u} + \underbrace{\lambda u}_{L_2 u}$$

→ 1. krok $\frac{\partial \tilde{u}}{\partial t} = -a \frac{\partial \tilde{u}}{\partial x}$ (např. metoda konečných objemů)

180

2. krok $\frac{\partial \tilde{u}}{\partial t} = \lambda \tilde{u}$ (ODR)

(ve 2. kroku je možné použít více
kroků num. metody pro ODR, např.
 N a volit tak časový krok $\frac{\tau}{N}$,
kde τ je čas. krok z 1. kroku.

$\frac{\tau}{N}$ volíme tak, abychom se přiblížili
k časovému měřítku reakce.)